

- (1) 对于 Creation 状态,在漏洞产生后的第 1 天时,其发生概率为 1,随着时间的推移,漏洞状态向 Discovery 逐渐演化,因此 Creation 状态的概率不断降低,在前 20 天内,曲线的斜率较陡,说明概率下降的速度快,到第 6 天时,概率值已经降低为 0.531 4,到第 15 天时,概率值降为 0.205 9,说明漏洞维持在该状态的可能性较低,会迅速向后续状态演化.
 - (2) 漏洞初始处于 Disclosure 状态的概率为 0,到第 3 天时,概率值陡增至 0.03,说明在漏洞产生之后,会迅速进入待公开状态,之后随着时间的推移,漏洞开始由 Disclosure 状态向 Exploit 和 Patched 状态的过渡,此时 Disclosure 状态的概率值不断降低;同时,当漏洞到达稳定的 Exploit 或者 Patched 状态时,相对应时刻的 Disclosure 概率值为 0.
 - (3) 对于 Exploit 和 Patched 状态,初始概率值为 0,随着时间的推移,漏洞逐步被发现和披露,漏洞利用不断扩散,Exploit 状态的发生概率不断增大.由于软件厂商努力研发修复补丁,加紧开发进度,因此漏洞演化到 Patched 的概率也不断增加.可以看出,Exploit 概率值增速要小于 Patched 的增速.例如第 8 天时,被利用的概率为 0.212 7,补丁发布的概率为 0.293 0,说明此时漏洞被修复的概率要始终高于被利用的概率.通过调节参数可以改变漏洞的时间概率,为安全漏洞防御提供指导.
 - (4) 由表 4 可以看出,在任意时间,漏洞处于不同状态的概率之和为 1;同时,随着时间的推移,最终漏洞演化到稳定的吸收态,即 Exploit 的概率为 0.42, Patched 的概率为 0.58,概率之和为 1.
- 2) 通过调节参数 $\lambda_1 \sim \lambda_6$ 可以分析参数变化对各漏洞状态时间概率的影响规律,由于涉及变量多,为了简化讨论,考虑其他参数值不变,仅以调节 λ_1 为例说明.利用第 3.1 节方法 1 计算 $\lambda_1=0.1,0.3,0.5,0.7,0.9$ 这 5 种情况下的状态时间概率,并绘制概率值在时间维的分布,如图 6 所示.

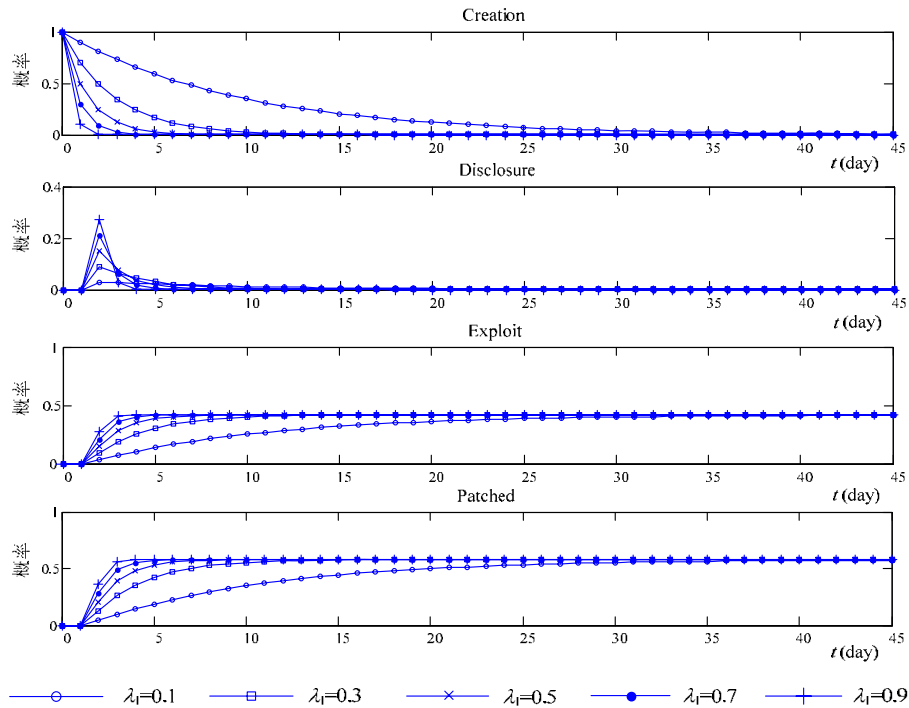


Fig.6 Time probability of each state in vulnerability life cycle with different λ_1

图 6 不同 λ_1 下的漏洞生命周期状态时间概率

从图 6 可以看出,参数 λ_1 的取值对各状态发生概率在时间维的走势影响不大;对于所有状态,当 λ_1 的取值更大时,其发生概率的变化更迅速,能够更快地趋向于稳定状态.上述发现对于研究漏洞生命周期的时间长度具有

重要意义,例如,当新增漏洞的产生速度加快时,宏观上可以判定多数漏洞的生命周期在缩短,漏洞在较短时间内能够演化到稳定状态,这意味着攻击者利用漏洞的周期也在缩短,对于指导软件厂家和安全漏洞研究机构加快推进补丁研发速度、缩短研发周期具有参考价值.通过调节其他参数也可以得到一些有益的结果,此处不再赘述.

4.3 漏洞利用及修复的期望概率值计算

接着第 4.1 节,首先考虑一般意义上的单个漏洞.

由第 3.2 节方法 2 可以计算出期望概率矩阵 $B = \begin{bmatrix} \lambda_2 + \lambda_3 \times \lambda_5 & \lambda_4 + \lambda_3 \times \lambda_6 \\ \lambda_2 + \lambda_3 \times \lambda_5 & \lambda_4 + \lambda_3 \times \lambda_6 \\ \lambda_5 & \lambda_6 \end{bmatrix}$, 则漏洞被利用的期望概率值是

$\lambda_2 + \lambda_3 \cdot \lambda_5$, 被修复的期望概率值是 $\lambda_4 + \lambda_3 \cdot \lambda_6$. 当 $\lambda_1=0.1, \lambda_2=0.3, \lambda_3=0.3, \lambda_4=0.4, \lambda_5=0.4, \lambda_6=0.6$ 时,漏洞被利用的期望概率 0.42, 被修复的期望概率 0.58, 与第 4.1 节表 4 得出的稳定状态($t=94$ 天)概率结果一致,与预期相符;同时,说明此时漏洞生命周期为 93 天.

定义漏洞被利用和修复的期望概率差值 $f = |(\lambda_2 - \lambda_4) + \lambda_3 \times (\lambda_5 - \lambda_6)|$, 显然,当 $\lambda_2 - \lambda_4$ 和 $\lambda_5 - \lambda_6$ 不变时, λ_3 越大,漏洞被利用和修复的概率之差越大,表明提高已“发现”漏洞被“公开”的概率,能够同时提高漏洞被利用或修复的可能性.对于实际应用的指导意义是:当软件厂商的补丁研发水平提高时,应提高对发现漏洞的公开概率,此举能够从整体上提高漏洞被修复的概率,当软件研发能力受限时,应降低对发现漏洞的公开概率,避免利用方法扩散,导致漏洞被更容易演化到 Exploit 状态.

4.4 安全漏洞的时间维度风险分析

结合图 4,本节分析遭受 WannaCry 入侵的系统在时间维度上的风险变化趋势.由表 3 可知,WannaCry 攻击利用漏洞均来自厂商 Microsoft,查询 CVE 数据库可知,截至 09/10/2017,供应商 Microsoft 的发布的漏洞总数 $Num(Microsoft, Disco)_1=4236$,近 $k=1$ 年来(09/10/2016~09/10/2017)发布的不同 Level 漏洞的历史统计数据见表 5;然后,利用第 2 节表 2 计算不同 Level 漏洞在其生命周期中的状态转移概率,见表 6.

Table 5 CVE history statistics information of Microsoft vulnerabilities

表 5 Microsoft 漏洞的 CVE 历史数据统计信息

| 漏洞数量统计 | Level=Low | Level=Medium | Level=High |
|--|-----------|--------------|------------|
| $Num(Microsoft, Level, Disco)_1$ | 1 742 | 1 342 | 1 152 |
| $Num(Microsoft, Level, Discl)_1$ | 1 537 | 1 037 | 737 |
| $NumAdd(Microsoft, Level, Disco)_1$ | 479 | 385 | 398 |
| $Num(Microsoft, Level, (Disco \rightarrow Explo))_1$ | 28 | 122 | 170 |
| $Num(Microsoft, Level, (Disco \rightarrow Patch))_1$ | 1 390 | 1 081 | 913 |
| $Num(Microsoft, Level, (Discl \rightarrow Patch))_1$ | 606 | 409 | 285 |

Table 6 Calculations of transition probabilities for different vulnerability levels of Microsoft

表 6 Microsoft 不同 Level 漏洞在其生命周期内的状态转移概率计算结果

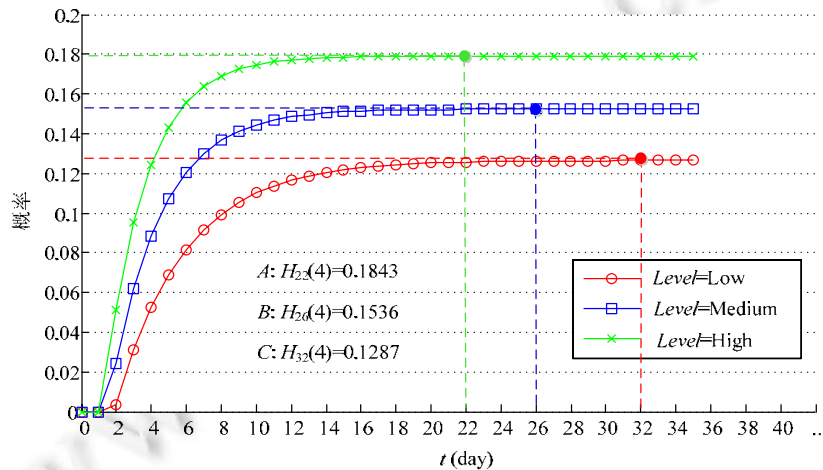
| Level | λ_1 | λ_2 | λ_3 | λ_4 | λ_5 | λ_6 |
|--------|-------------|-------------|-------------|-------------|-------------|-------------|
| Low | 0.275 0 | 0.016 1 | 0.186 0 | 0.797 9 | 0.605 7 | 0.394 3 |
| Medium | 0.286 9 | 0.090 9 | 0.103 6 | 0.805 5 | 0.605 6 | 0.394 4 |
| High | 0.345 5 | 0.147 6 | 0.059 9 | 0.792 5 | 0.613 3 | 0.386 7 |

可以看出,不同 Level 漏洞的生命周期时间模型中的状态转移概率不同.接着,利用第 3.1 节方法 1 计算厂商 Microsoft 不同 Level 漏洞处于生命周期 Exploit 状态的时间概率,记录在表 7 中,并绘制概率值在时间维度上的分布如图 7 所示.

从图 7 和表 7 可以看出,对于利用难度 High 的漏洞,稳定后到达 Exploit 状态的期望概率为 0.128 7,漏洞生命周期为 32 天,对应图 7 中的点 C;难度 Medium 的漏洞,Exploit 状态的期望概率为 0.153 6,漏洞生命周期为 26 天,对应图 7 中的点 B;难度 Low 的漏洞,Exploit 状态的期望概率为 0.184 3,生命周期为 22 天,在图中用 A 标出.

Table 7 Probabilities of Exploit for different vulnerability levels of Microsoft in their life cycle**表 7** Microsoft 不同 Level 漏洞在其生命周期内的 Exploit 概率

| Day/Level | Low | Medium | High | Day/Level | Low | Medium | High |
|-----------|---------|---------|----------------|-----------|----------------|----------------|---------|
| 1 | 0 | 0 | 0 | 2 | 0.004 4 | 0 | 0.004 4 |
| 4 | 0.097 1 | 0.062 7 | 0.063 4 | 6 | 0.147 0 | 0.107 4 | 0.094 4 |
| 8 | 0.168 3 | 0.130 1 | 0.110 7 | 10 | 0.177 5 | 0.141 7 | 0.119 3 |
| 12 | 0.181 4 | 0.147 6 | 0.123 8 | 14 | 0.183 1 | 0.150 5 | 0.126 1 |
| 16 | 0.183 8 | 0.152 1 | 0.127 4 | 18 | 0.184 1 | 0.152 8 | 0.128 0 |
| 20 | 0.184 2 | 0.153 2 | 0.128 4 | 22 | 0.184 3 | 0.153 4 | 0.128 6 |
| 24 | 0.184 3 | 0.153 5 | 0.128 7 | 26 | 0.184 3 | 0.153 6 | 0.128 7 |
| 28 | 0.184 3 | 0.153 6 | 0.128 7 | 30 | 0.184 3 | 0.153 6 | 0.128 7 |
| 32 | 0.184 3 | 0.153 6 | 0.128 8 | 34 | 0.184 3 | 0.153 6 | 0.128 8 |
| 36 | 0.184 3 | 0.153 6 | 0.128 8 | 38 | 0.184 3 | 0.153 6 | 0.128 8 |
| ... | ... | ... | ... | ... | ... | ... | ... |

**Fig.7** Probability distributions of Exploit for different vulnerability levels of Microsoft in their life cycle**图 7** Microsoft 不同 Level 漏洞在生命周期内的 Exploit 概率分布

上述结果从宏观角度预测了未来一段时间内,Microsoft 产品不同 Level 漏洞被利用的平均概率随时间的变化规律.不难看出,在同一时刻,难度为 Low 的漏洞被利用的概率最高,而难度为 High 的漏洞被利用的概率最低,但后者到达稳定状态所需时间更长.该结论与实际漏洞利用攻击相符,对于难度低的漏洞,随着攻击脚本的传播,低水平的攻击者也能成功发动攻击,导致漏洞被利用概率增大;并且随着攻击方法的迅速传播,漏洞状态能够更快地趋于稳定,因此生命周期更短.

通过上述分析,对于新披露的漏洞,通过查询相应厂商的历史漏洞信息,并结合 CVSS 评估漏洞利用难度 Level,利用本文方法可以预测漏洞生命周期长度以及时间维度的利用概率,预测结果从整体上为安全漏洞的风险控制提供了参考.

下面分析图 4 网络系统在漏洞生命周期内的风险变化情况.对于 WannaCry 攻击利用的 2 个漏洞,结合表 3 中的漏洞基础信息,以漏洞 CVE-2017-7494 的公开时间(04/05/2017)为起始时间,设定该时刻为 $t=0$,然后利用第 3.3 节方法 3,计算被入侵系统中的单个漏洞及系统整体风险值,记录在表 8 中,并绘制漏洞时间风险变化如图 8 所示.由图 8 可知,单个漏洞和整体系统的风险值在时间维度上均符合指数分布.在初始阶段, $Vuln_1$ 会产生安全风险,而 $Vuln_2$ 不存在风险隐患,System 风险处于较低水平.随着 $Vuln_2$ 的公开,WannaCry 蠕虫开始利用此漏洞搜寻入侵目标主机,并结合 $Vuln_1$ 实现在局域网内横向渗透.随后几天内,受感染主机数量急剧增多,因此 System 风险迅速上升.由于 $Vuln_2$ 的 $ExpSco$ 高于 $Vuln_1$,因此前者的单漏洞风险值更高.结合表 8 可知:在 $t=32$ 附近,System 风险达到一个较高的稳定值,表现为勒索病毒在全球范围大爆发,与著名软件供应商 Symante^[28] 提供的勒索病

毒集中爆发时间为 12/05/2017 较为接近,验证了本文方法的有效性和准确性.

Table 8 Time risk values of WannaCry blackmail attacks

表 8 WannaCry 勒索攻击的时间风险值

| t (day) | $Vuln_1$ | $Vuln_2$ | System | t (day) | $Vuln_1$ | $Vuln_2$ | System | t (Day) | $Vuln_1$ | $Vuln_2$ | System |
|-----------|----------|----------|--------|-----------|--------------|--------------|--------------|-----------|----------|----------|--------|
| 0 | 0 | 0 | 0 | 2 | 0 | 0.889 | 0.444 | 4 | 0 | 1.873 | 0.936 |
| 6 | 0 | 2.390 | 1.195 | 8 | 0.047 | 2.662 | 1.354 | 10 | 0.673 | 2.804 | 1.739 |
| 12 | 1.003 | 2.880 | 1.941 | 14 | 1.176 | 2.919 | 2.048 | 16 | 1.267 | 2.940 | 2.103 |
| 18 | 1.315 | 2.951 | 2.133 | 20 | 1.340 | 2.956 | 2.148 | 22 | 1.353 | 2.960 | 2.156 |
| 24 | 1.360 | 2.961 | 2.160 | 26 | 1.363 | 2.962 | 2.163 | 28 | 1.366 | 2.962 | 2.164 |
| 30 | 1.366 | 2.963 | 2.164 | 32 | 1.367 | 2.963 | 2.165 | 34 | 1.367 | 2.963 | 2.165 |
| ... | ... | ... | ... | ... | ... | ... | ... | ... | ... | ... | ... |

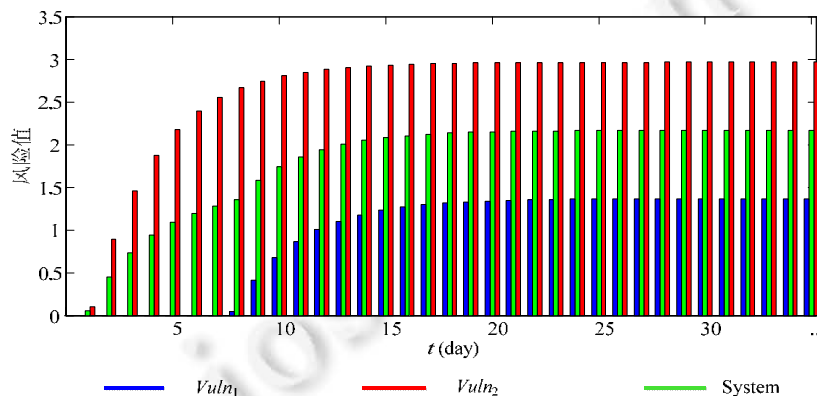


Fig.8 Security risk trend of WannaCry blackmail attacks

图 8 WannaCry 勒索攻击的安全风险趋势

4.5 方案综合比较

本文与典型相关研究的特点比较见表 9,从表中可以看出,文献[11]通过对漏洞威胁和利用可能性划分等级,结合风险矩阵计算系统的安全风险等级,但等级划分具有较强的主观性;文献[12]结合漏洞属性评估漏洞影响度,该过程依赖领域知识,分析未知漏洞的能力不足;文献[15]基于层次分析法,但系统安全指标体系难以建立,且未对风险结果进行量化;文献[13]结合粗集理论实现了漏洞属性约简,但只能分析已知漏洞风险;文献[14]结合先验的漏洞数据库,通过 CVSS 数据集训练贝叶斯信念网络,在某种程度上能够度量未知漏洞,且结果的客观性较高.但以上研究均未结合漏洞生命周期过程,缺乏时间维度上的动态度量.相比之下,本文结合漏洞生命周期过程,从宏观角度分析了漏洞状态的一般演化规律,度量安全漏洞的风险水平,具备对未知漏洞风险预测的能力,给出了漏洞利用概率在时间维度上的变化函数,能够实时、动态地度量网络风险,更真实地反映系统安全漏洞的风险状况,为安全管理员的风险管理提供更科学的决策支持.

Table 9 Comprehensive comparisons among our method and others

表 9 本文方法与其他方法综合比较

| 类型 | 客观程度 | 未知漏洞 | 动态度量 | 风险值量化 | 时间维分析 |
|--------|------|------|------|-------|-------|
| 文献[11] | 低 | 否 | 否 | 否 | 否 |
| 文献[12] | 低 | 否 | 否 | 是 | 否 |
| 文献[13] | 中 | 否 | 否 | 否 | 否 |
| 文献[14] | 高 | 是 | 否 | 是 | 否 |
| 文献[15] | 低 | 否 | 否 | 否 | 否 |
| 本文方法 | 中 | 是 | 是 | 是 | 是 |

5 结束语

信息系统安全漏洞是系统设计本身的缺陷,它可能引起系统异常、瘫痪,甚至被黑客利用进行入侵,引起更大的损失,因此,安全漏洞风险评估是信息系统安全研究的重要内容.目前,关于安全漏洞风险研究大多为静态的分析方法,未考虑漏洞利用概率在漏洞产生时间维度上的分布规律,缺少对于漏洞生命周期整体的考虑.

本文从时间维度出发,利用吸收 Markov 链对漏洞生命周期中的状态迁移进行建模,以 CVE 的漏洞数据库为输入,依据历史先验漏洞信息构造状态转移概率矩阵,通过矩阵推导,在时间维上对安全风险进行量化分析,真实、动态地呈现漏洞的时间风险.实例分析结果表明,文中提出的模型及方法符合实际应用,结果准确、有效.

References:

- [1] Chen K, Feng DG, Su PE, Nie CJ, Zhang XF. Multi-Cycle vulnerability discovery model for prediction. *Ruan Jian Xue Bao/Journal of Software*, 2010,21(9):2367–2375 (in Chinese with English abstract). <http://www.jos.org.cn/1000-9825/3626.htm> [doi: 10.3724/SP.J.1001.2010.03626]
- [2] Nie CJ, Zhao XF, Chen K, Han ZQ. An software vulnerability number prediction model based on micro-parameters. *Chinese Journal of Computer Research & Development*, 2011,48(7):1279–1287 (in Chinese with English abstract).
- [3] Gao ZW, Yao Y, Rao F, Liu YZ, Luo P. Predicting model of vulnerabilities based on the type of vulnerability security. *Chinese Acta Electronica Sinica*, 2013,41(9):1784–1787 (in Chinese with English abstract).
- [4] Arbaugh WA, Fithen WL, Mchugh J. Windows of vulnerability: A case study analysis. *Computer*, 2000,33(12):52–59. [doi: 10.1109/2.889093]
- [5] Frei S. Security econometrics: The dynamics of (in) security. [Ph.D. Thesis]. Sissach: ETH Zurich, 2009.
- [6] Kaaniche M, Marconato GV, Nicomette V. Security-Related vulnerability life cycle analysis. In: *Proc. of the 2013 IEEE Int'l Conf. on Risk and Security of Internet & Systems*. 2013. 1–8. [doi: 10.1109/CRISIS.2012.6378954]
- [7] Song MQ, Wang LL, Yu B. Research on time risk of security vulnerability based on lifecycle theory. *Chinese Journal of Computer Engineering*, 2011,37(1):131–133 (in Chinese with English abstract).
- [8] Jumratjaroenvanit A, Teng-Amnuay Y. Probability of attack based on system vulnerability life cycle. In: *Proc. of the 2008 IEEE Int'l Symp. on Electronic Commerce & Security*. 2008. 531–535. [doi: 10.1109/ISECS.2008.212]
- [9] Joh H, Malaiya YK. A framework for software security risk evaluation using the vulnerability lifecycle and CVSS metrics. In: *Proc. of the 2010 Int'l Workshop on Risk & Trust in Extended Enterprises*. 2010. 430–434.
- [10] Shahzad M, Shafiq MZ, Liu AX. A large scale exploratory analysis of software vulnerability life cycles. In: *Proc. of the 2012 IEEE Int'l Conf. on Software Engineering*. 2012. 771–781. [doi: 10.1109/ICSE.2012.6227141]
- [11] Cox JLAT. Some limitations of “risk=threat×vulnerability×consequence” for risk analysis of terrorist attacks. *Risk Analysis*, 2008, 28(6):1749–1761. [doi: 10.1111/j.1539-6924.2008.01142.x]
- [12] Mkpung-Ruffin I, Umphress D, Hamilton J, Gilbert J. Quantitative software security risk assessment model. In: *Proc. of the 2007 ACM Workshop on Quality of Protection*. 2007. 31–33. [doi: 10.1145/1314257.1314267]
- [13] Fu ZY, Gao L, Sun Q, Li Y, Gao N. Evaluation of vulnerability serverity based on rough sets and attributes reduction. *Chinese Journal of Computer Research & Development*, 2016,53(5):1009–1017 (in Chinese with English abstract).
- [14] Houmb SH, Franqueira VNL, Engum EA. Quantifying security risk level from CVSS estimates of frequency and impact. *Journal of Systems & Software*, 2010,83(9):1622–1634. [doi: 10.1016/j.jss.2009.08.023]
- [15] Zhao L, Li JE, Lu TB, Liu KP. Research on quantitative assessment model on vulnerability risk for information system. *Chinese Journal of Communication*, 2009,30(2):71–76 (in Chinese with English abstract).
- [16] Li S, Tryfonas T, Russell G, Andriotis P. Risk assessment for mobile systems through a multilayered hierarchical bayesian network. *IEEE Trans. on Cybernetics*, 2016,46(8):1749–1759. [doi: 10.1109/TCYB.2016.2537649]
- [17] Fonseca J, Seixas N, Vieira M, Madeira H. Analysis of field data on web security vulnerabilities. *IEEE Trans. on Dependable & Secure Computing*, 2014,11(2):89–100. [doi: 10.1109/TDSC.2013.37]
- [18] Wiik J, Gonzalez JJ, Lipson HF, Shimeall TJ. Dynamics of vulnerability-modeling the life cycle of software vulnerabilities. In: *Proc. of the 22th Int'l Conf. on System Dynamics*. 2004. 3043–3061.

- [19] Ciapessoni E, Cirio D, Kjølle G, Massucco S, Pitto A, Sforza M. Probabilistic risk-based security assessment of power systems considering incumbent threats & uncertainties. *IEEE Trans. on Smart Grid*, 2016,7(6):2890–2903. [doi: 10.1109/TSG.2016.2519239]
- [20] Li ZJ, Zhang JX, Liao XK, Ma JX. Survey of software vulnerability detection techniques. *Chinese Journal of Computers*, 2015,38(4):717–732 (in Chinese with English abstract).
- [21] Wu SZ. Review and outlook of information security vulnerability analysis. *Chinese Journal of Tsinghua University (Science and Technology)*, 2009,49(s2):2065–2072 (in Chinese with English abstract).
- [22] Mell P, Scarfone K, Romanosky S. Common vulnerability scoring system. *IEEE Security & Privacy*, 2006,4(6):85–89. [doi: 10.1109/MSP.2006.145]
- [23] NIST. National vulnerability database. 2018. <https://nvd.nist.gov/>
- [24] CVE. Common vulnerabilities and exposures. 2018. <http://cve.mitre.org/>
- [25] OSVDB. The open source vulnerability database. 2018. <http://osvdb.org/>
- [26] Seneta E. *Non-Negative Matrices and Markov Chains*. 2nd ed., New York: Springer Science & Business Media, 2006. 128–132.
- [27] Beattie S, Arnold S, Cowan C, Wagle P, Wright C. Timing the application of security patches for optimal uptime. In: *Proc. of the 16th USENIX Conf. on System Administration*. 2002. 233–242.
- [28] Symantec. 2017. <https://www.symantec.com/connect/ru/blogs/what-you-need-know-about-wannacry-ransomware>

附中文参考文献:

- [1] 陈恺,冯登国,苏璞睿,聂楚江,张晓菲.一种多周期漏洞发布预测模型. *软件学报*,2010,21(9):2367–2375. <http://www.jos.org.cn/1000-9825/3626.htm> [doi: 10.3724/SP.J.1001.2010.03626]
- [2] 聂楚江,赵险峰,陈恺,韩正清.一种微观漏洞数量预测模型. *计算机研究与发展*,2011,48(7):1279–1287.
- [3] 高志伟,姚尧,饶飞,刘延钊,罗平.基于漏洞严重程度分类的漏洞预测模型. *电子学报*,2013,41(9):1784–1787.
- [7] 宋明秋,王磊磊,于博.基于生命周期理论的安全漏洞时间风险研究. *计算机工程*,2011,37(1):131–133.
- [13] 付志耀,高岭,孙骞,李洋,高妮.基于粗糙集的漏洞属性约简及严重性评估. *计算机研究与发展*,2016,53(5):1009–1017.
- [15] 周亮,李俊娥,陆天波,刘开培.信息系统漏洞风险定量评估模型研究. *通信学报*,2009,30(2):71–76.
- [20] 李舟军,张俊贤,廖湘科,马金鑫.软件安全漏洞检测技术. *计算机学报*,2015,38(4):717–732.
- [21] 吴世忠.信息安全漏洞分析回顾与展望. *清华大学学报(自然科学版)*,2009,49(s2):2065–2072.



胡浩(1989—),男,安徽池州人,博士生,主要研究领域为网络安全态势感知,网络威胁行为分析,图像秘密共享.



常德显(1977—),男,博士,副教授,主要研究领域为信息安全,可信计算.



叶润国(1976—),男,博士,高级工程师,主要研究领域为大数据安全分析.



刘玉岭(1982—),男,博士,高级工程师,CCF专业会员,主要研究领域为网络安全态势感知,大数据安全分析.



张红旗(1962—),男,博士,教授,博士生导师,主要研究领域为网络安全,风险评估,等级保护,信息安全管理.



杨英杰(1971—),男,博士,教授,主要研究领域为数据挖掘,态势感知,信息安全管理.